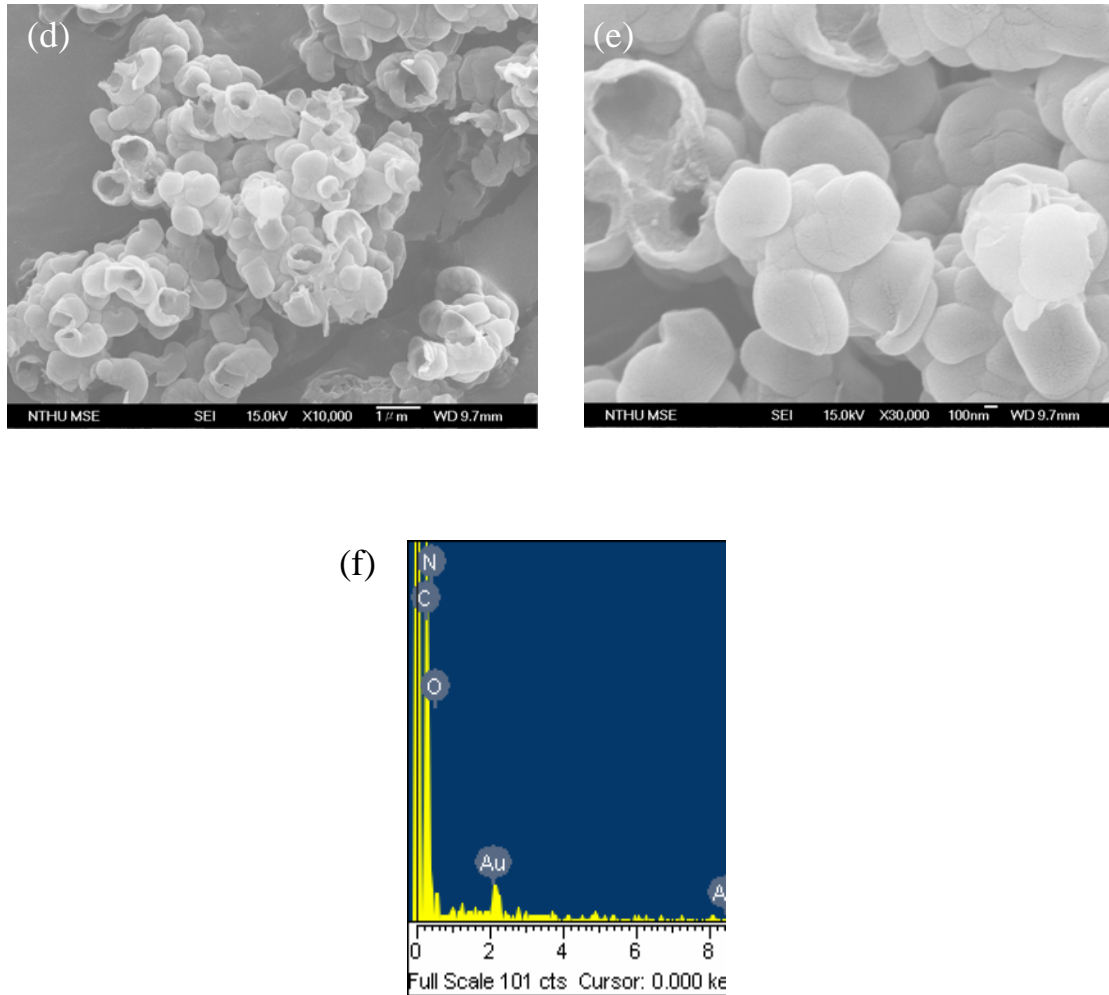
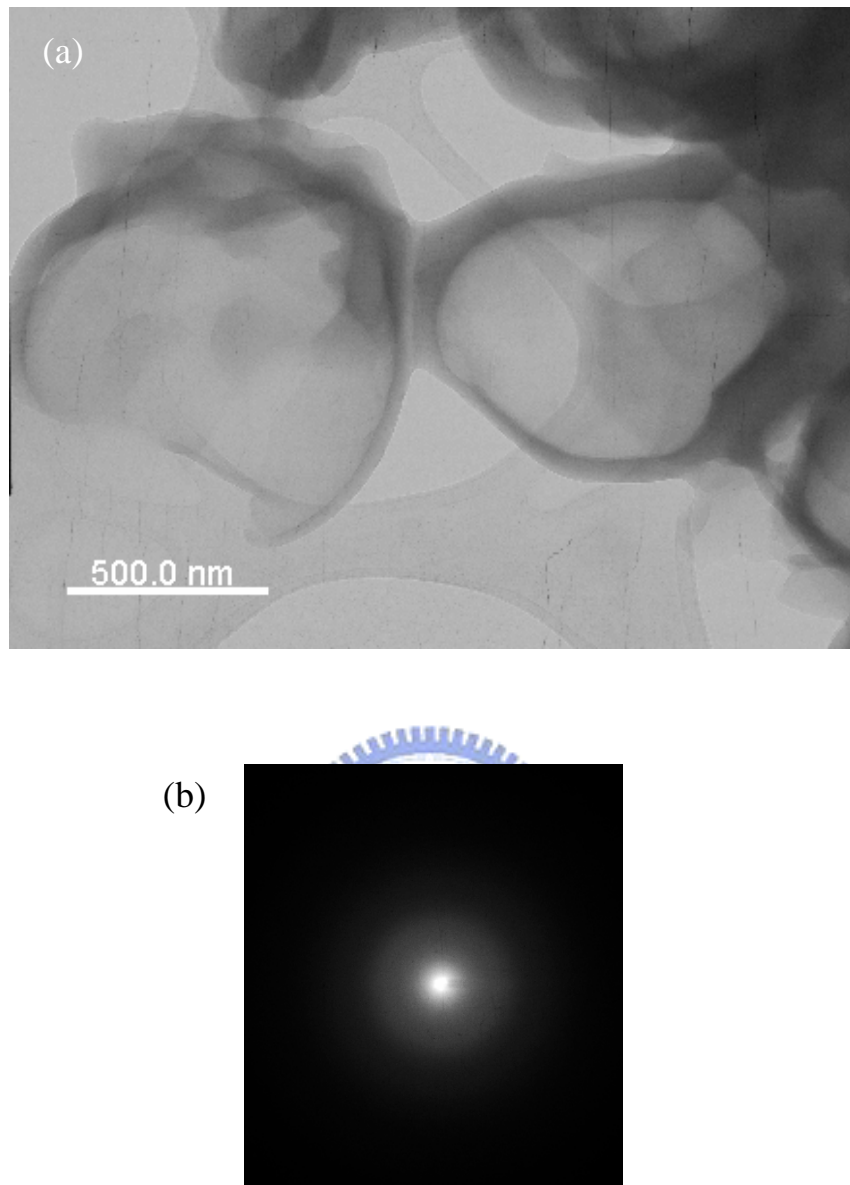


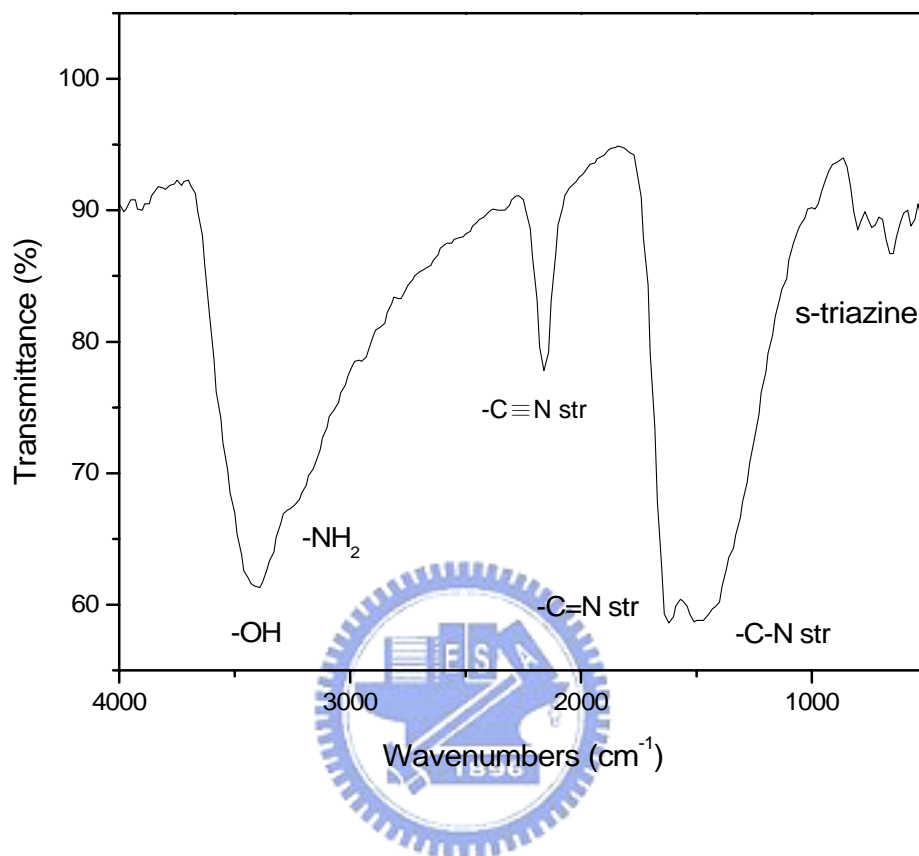
圖二 (a)、(b)  $C_3N_3Cl_3$  與 NaH 熱裂解後的 Na 金屬在 623K 下反應得到的孔洞性奈米氮化碳材料之 SEM 影像圖。(c) 為其 EDS 分析圖。



圖二 (d)、(e)為  $C_3N_3Cl_3$ 與NaH熱裂解後的Na金屬在 623K下反應得到的奈米氮化碳球之SEM影像圖。(f)為其EDS分析圖。

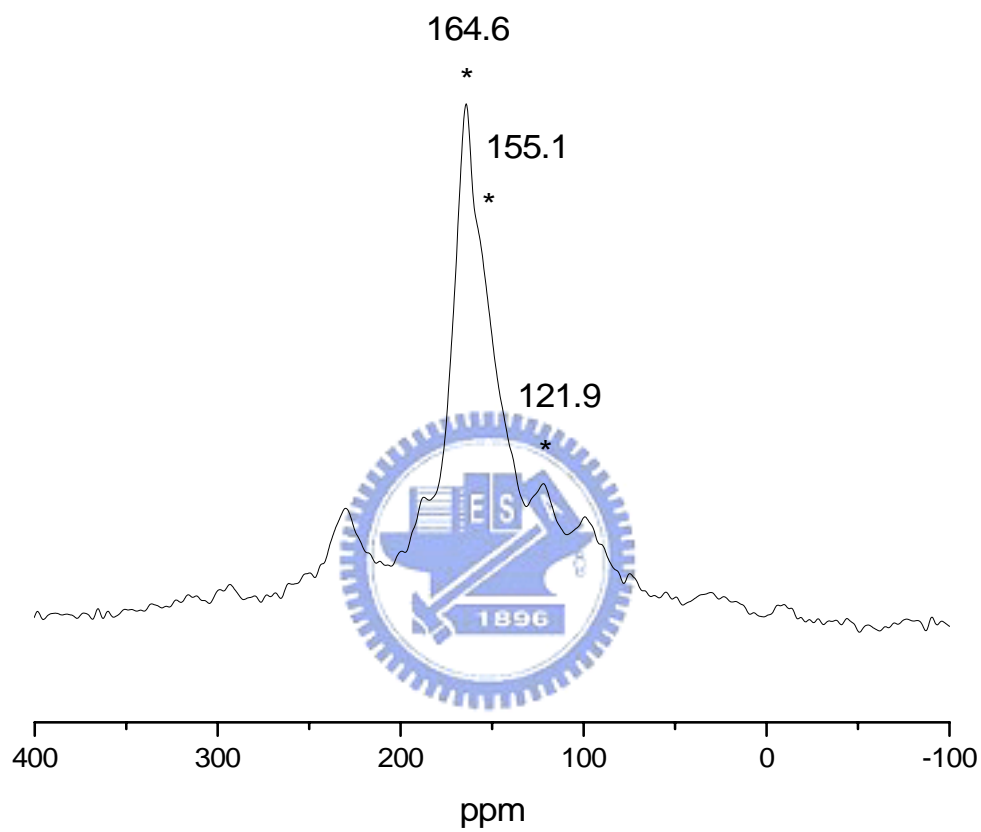


圖三 (a) $C_3N_3Cl_3$ 與NaH熱裂解後的Na金屬在 623K下反應得到的奈米氮化碳球之 TEM 影像圖。(b)為其選區電子繞射影像。



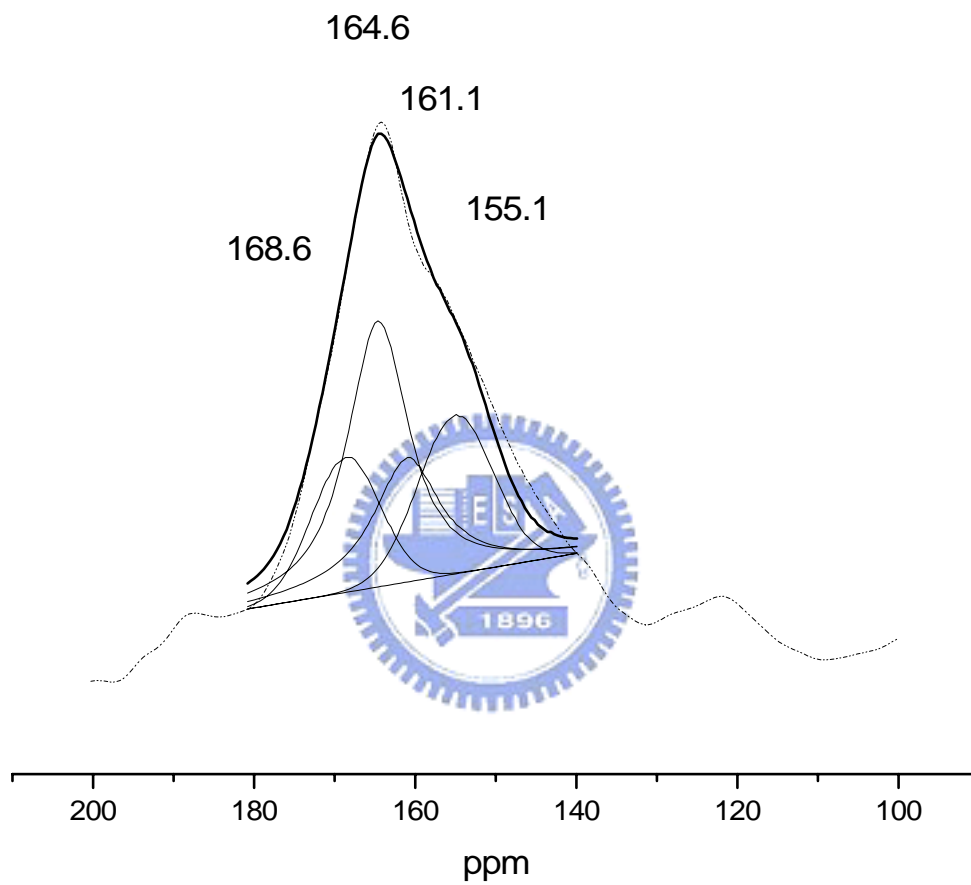
圖四  $C_3N_3Cl_3$ 與NaH熱裂解後的Na金屬在 623K下反應得到的樣品A之FT-IR光譜圖。

(a)



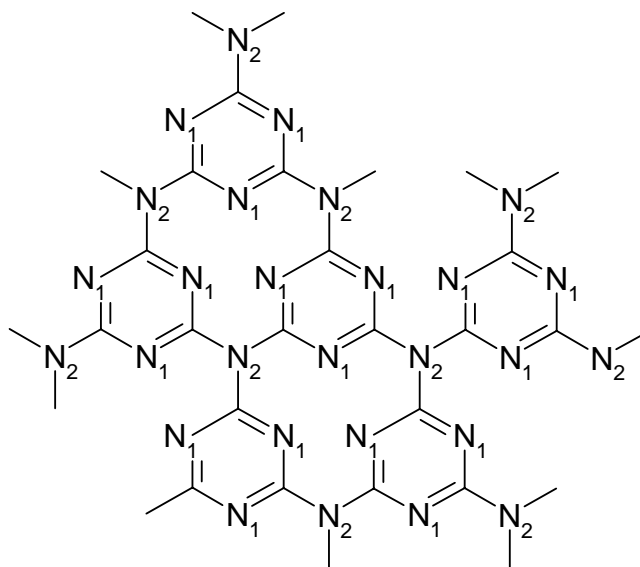
圖五 (a)樣品A之 $^{13}\text{C}$ 固態核磁共振光譜圖。

(b)

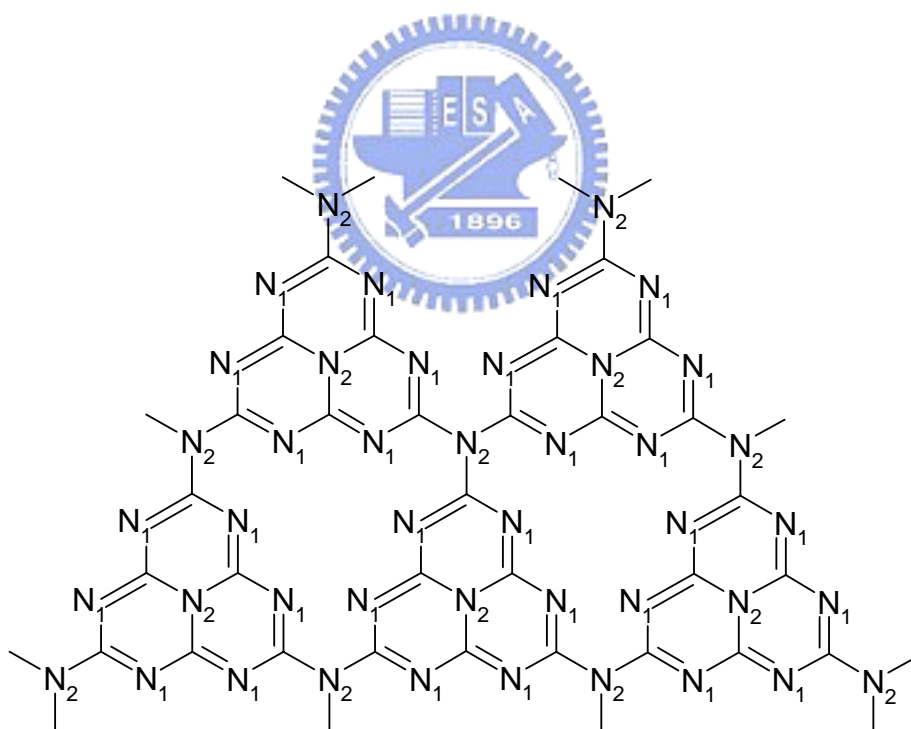


圖五 (b)為(a)之 Gaussian curve fitting 圖譜。

(a)

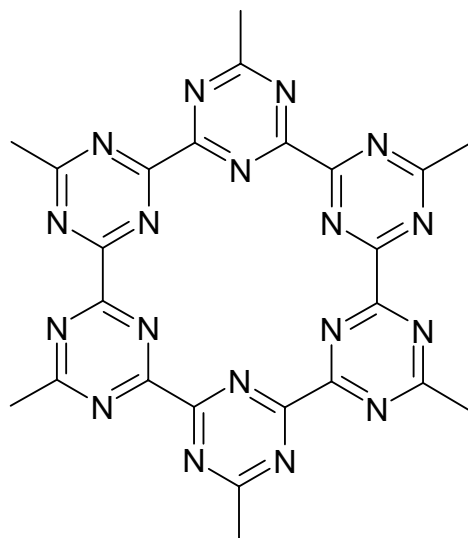


(b)



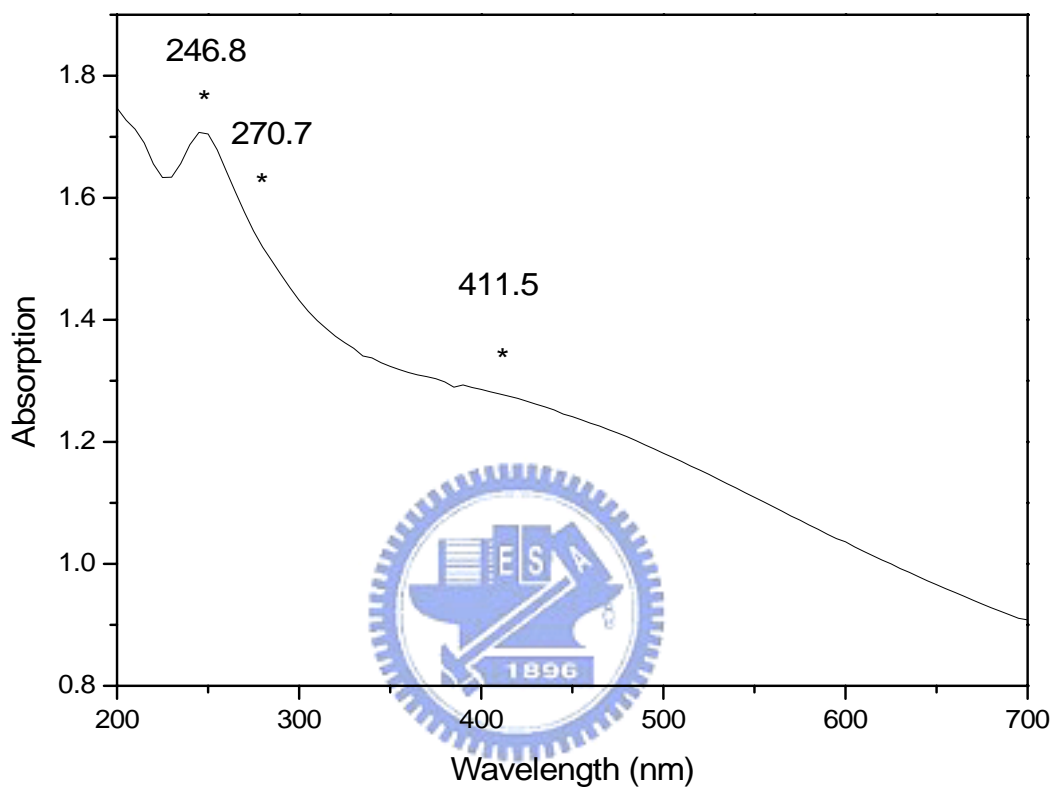
圖六 樣品 A 所包含之可能結構圖。(a)似 melemine 結構圖。(b) 似 melem 結構圖。

(c)



圖六 樣品 A 所包含之可能結構圖。(c)沒有氮連接的碳氮單環網狀結構圖。





圖七 樣品 A 分散在去離水中之 UV-VIS 圖譜。